

# کنترل همزمان جهت‌گیری و ارتعاشات خمشی - پیچشی ماهواره‌ی دارای پانل‌های چند قسمتی به کمک کنترل - مشاهده‌گر مرزی مبتنی بر معادلات دیفرانسیل با مشتقات جزئی

محمد‌مهدی عطایی (دانشجوی دکتری)

حسین نجات پیشکاری (دانشیار)

حسن سالارویه \* (استاد)

دانشکده‌ی هندسی مکانیک، دانشگاه صنعتی شریف، تهران

پژوهشی  
مکانیک شریف (پیاپی ۱۴۰)  
دوری ۳۷-۸۳، شماره ۱، ص. ۵۱-۶۴ (پژوهشی)

در این مقاله کنترل مرزی مبتنی بر مشاهده‌گر معادلات جزیی برای وضعیت و ارتعاشات یک فرم کلی از ماهواره‌های انعطاف‌پذیر و بالحظ پیچش و خشن توان ارائه شده است. دینامیک وضعیت پدنه‌ی صلب و ارتعاشات صفحات خورشیدی یک دستگاه معادلات دیفرانسیل مرتبط معمولی و جزیی را تشکیل می‌دهد که در این مقاله مستقیماً و بدون گسسته‌سازی کنترل می‌شود. در روش ارائه شده کمینه تعداد سیگنال پسخواراند از مرز قابل استفاده است که توسط مشاهده‌گر تخمین زده می‌شود. بتایرین فقط داده‌های وضعیت ماهواره و آنکه تغییرات آن پایستی اندازه‌گیری شود ولی همچنان سیستم کنترل اطلاعات مربوط به ارتعاشات در اجزای گستردۀ بهره می‌برد. پایداری مجانبی سیستم مدار بسته اثبات می‌شود و از طریق شبیه‌سازی اجزای محدود، عملکرد مناسب این کنترل‌کننده‌ی مرزی مبتنی بر مشاهده‌گر نشان داده می‌شود.

mehdi.sut@gmail.com  
nejat@sharif.edu  
salarieh@sharif.edu

واژگان کلیدی: مشاهده‌گر معادلات جزیی، کنترل مرزی، ماهواره انعطاف‌پذیر، دینامیک خارج از صفحه.

## ۱. مقدمه

و پایداری پاسخ مداربسته را تحت تأثیر قرار دهد یا آن که نایابداری سرریز<sup>۱</sup> رخ دهد. اخیراً برای اجتناب از خطاهای توجه بیشتری به کنترل مستقیم معادلات جزیی معطوف شده است. این ایده از طریق نصب حسگرها و عملگرها در هر نقطه از گستره‌ی جسم یا صرفاً روی مرزهای آن تحقق می‌پاید. در مطالعات پیشین، برای اعمال کنترل‌گر مود لغزشی مرزی بر یک تیر اولر- برنولی تحت اغتشاش‌های محدود نامعلوم، رویه‌ی ارائه شده است.<sup>[۱۲]</sup> همچنین برای یک بازوی دو عضوی صلب - منعطف با کوانتیزه کردن ورودی یک کنترل‌کننده‌ی مرزی طراحی شده که به تعداد زیادی سیگنال پسخواراند از مرزها نیاز دارد.<sup>[۱۳]</sup>

محققان برای پایدارسازی نمایی ارتعاشات انعطافی حین حرکت در یک جرثقیل دروازه‌ی یک کنترل‌گر مرزی ارائه کردند.<sup>[۱۴]</sup> آنان مدل‌های ساده‌ی از ماهواره‌ها را به صورت یک تیر با تنها یک درجه آزادی انتقالی در نظر گرفتند.<sup>[۱۵]</sup> دیگرانی نیز ماهواره را به صورت یک تیر چرخان در صفحه فرض کردند.<sup>[۱۶]</sup> در این پژوهش‌ها کنترل‌کننده‌ی معادلات جزیی با استفاده از پسخواراندها و قوانین کنترلی پیچیده معرفی شده است.

به علاوه در مطالعات بعدی، کنترل‌کننده‌های مرزی با پایداری مجانبی و نمایی

در صنعت مدرن اجزای انعطاف‌پذیر کاربرد رو به رشدی دارند زیرا وزن کمتر و مصرف انرژی پایین‌تری دارند. سیستم‌های فضایی مانند ماهواره‌ها و بازوی‌های مکانیکی صنعتی از جمله کاربردهای رایج در این زمینه‌اند. این ادوات عموماً متشکل از اجزای صلب و منعطف هستند. اما درجات آزادی بی‌نهایت در یک قطعه‌ی گستردۀ و معادلات دیفرانسیل مرتبط معمولی و جزیی<sup>۲</sup> توان کنترل دقیق را با دشواری‌های مواجه می‌سازد.

در ادبیات روش‌های متنوعی برای کنترل وضعیت و ارتعاشات ماهواره‌های انعطاف‌پذیر بر اساس گسسته‌سازی معادلات جزیی معرفی شده است. برای مثال روش‌های زمان‌بینی، توزیع گشتاور به صورت مقید، مود لغزشی به علاوه تنظیم کننده‌ی مرتبه‌ی دوم خطی<sup>۳</sup>، ترکیب کنترل پسخواراند نزخ تغییرکرنش با کنترل لیاپانوف، تطبیقی و مقاوم، پیش‌بینی مدل، پسخواراند تناسبی و مشتقی و برخی روش‌های ابتکاری<sup>[۱۱-۱]</sup> به کارگرفته شده است. اما مودهای به حساب نیامده در این رویکردها امکان دارد کیفیت

\* نویسنده مستول

تاریخ: دریافت ۱۳ اکتوبر ۱۴۰۰، اصلاحیه ۱/۱، پذیرش ۵ اکتوبر ۱۴۰۰.

DOI:10.24200/J40.2021.58511.1604

بدنه‌ی اصلی به همراه تغیرشکل خمشی صفحات خورشیدی پرداخته شده است. در نوشتار حاضر علاوه بر درجات آزادی مذکور، معادلات جزیی پیچش صفحات خورشیدی به صورت مرتبط با دینامیک دوران بدنه‌ی صلب محاسبه و کنترل شده است.

- معادلات جزیی گستته‌سازی نمی‌شود و تلاش بر آن است تا کمترین تعداد سیگنال پسخوراند مورد نیاز باشد.

- با طراحی مشاهده‌گر معادلات جزیی لازم نیست سیگنال‌های پسخوراند مشتمل بر مشتقات جزیی زمان و موقعیت از مرز سیستم اندازه‌گیری شود و فقط با اندازه‌گیری وضعیت و سرعت زاویه‌یی ماهواره، داده‌های مرزی به وسیله مشاهده‌گر محاسبه و استفاده می‌شود، که در نتیجه پیاده‌سازی روش کنترلی را به راحتی امکان‌پذیر می‌کند.

- در این نوشتار کنترل وضعیت همزمان با فرونشاندن ارتعاشات انجام می‌شود در حالی که فقط از دو عملگر گشتاور معمول داخل بدنه‌ی اصلی استفاده می‌شود.

- کنترل‌گر مورد نظر علاوه بر تأثیر پایداری، امکان تنظیم خصوصیات رفتار گذرا در دینامیک وضعیت ماهواره را فراهم می‌کند.

- در مقالات موجود عموماً ساختار ماهواره به صورت تیرچرخان که بدنه‌ی اصلی در وسط آن قرار دارد مدل شده است. اما در این پژوهش تلاش شده است به شرایط واقعی نزدیک تر شویم. در این راستا چندقسمتی بودن صفحات خورشیدی بازشونده لحاظ شده است.

بدین منظور معادلات دینامیکی به کمک اصل هامیلتون محاسبه می‌شود. مشاهده‌گر و سپس کنترل‌کننده‌ی مرزی طراحی و اثبات پایداری سیستم حلقه بسته انجام می‌شود. به منظور شبیه‌سازی مدل دینامیکی به روش اجرای محدود نیز به دست می‌آید و عملکرد کنترل‌کننده‌ی مبنی بر مشاهده‌گر ارائه شده بررسی می‌شود.

## ۲.۱. فرضیات

صفحات خورشیدی دارای مقطع مستطیل شکل و به لحاظ هندسی و خواص فیزیکی یکنواخت در نظر گرفته می‌شود. بدنه‌ی اصلی یک مکعب صلب است. صفحات خورشیدی با نظر به تیرکلاسیک مدل می‌شود یعنی از تغیر شکل مقطع<sup>۱۰</sup> صرف نظر می‌شود. نظر به شعاع بسیار بزرگ حرکت مداری ماهواره، ثابت زمانی دینامیک مربوطه بسیار بزرگ‌تر از دینامیک وضعیت ماهواره همچنین ارتعاشات است؛ لذا ارتباط حرکات تغییر وضعیت و مداری ماهواره قابل صرف نظر کردن است. این فرضیات همگی در میان مقالات مربوط به کنترل معادلات جزیی وضعیت و ارتعاشات ماهواره رایج است.<sup>[۱۹-۱۵]</sup>

با توجه به ابعاد و شکل هندسی، سختی خشنی در راستای محور لولاهاي قطعات پانل بسیار کمتر از سختی خشنی در راستای دیگر است. به این دلیل دامنه‌ی جابه‌جایی ارتعاشی عمود بر صفحات بیشتر قابل توجه است. در خمین، روابط تیر اولر - برنولی<sup>۱۱</sup> لحاظ و با توجه به وجود دو محور تقارن در هر مقطع، معادلات پیچش و خمسن به صورت غیر مرتبط<sup>۱۲</sup> به دست می‌آید.<sup>[۲۲]</sup> در واقع به لحاظ هندسی هر مقطع دارای دو محور تقارن و توزیع جرم نیز در صفحات خورشیدی و هاب به صورت یکنواخت فرض می‌شود.

برای ماهواره‌ی در حرکت صفحه‌یی طراحی شد.<sup>[۱۸]</sup> مدل ماهواره به صورت دو تیر طره که به دو سمت بدنه‌ی صلب جوش شده‌اند فرض شده است. برای اعمال کنترل تعدادی سیگنال پسخوراند با مشتقات از مراتب مختلف نسبت به مکان و زمان مورد نیاز است.

برای کاهش یا رفع نیاز به حسگرهای مرزی و در عین حال بهره بردن از اطلاعات دینامیکی اجزای گستردۀ، یک راهکار عبارت است از استفاده از مشاهده‌گر معادلات جزیی. با این وجود تاکنون کاربردهای زیادی از این دست ارائه نشده است. مرور

روش‌های متنوع طراحی مشاهده‌گر<sup>[۱۳]</sup> نشان داده به منظور طراحی مشاهده‌گر باید ابعاد سیستم کاهش یابد، که به آن «متمرکزسازی»<sup>۱۴</sup> گفته می‌شود. بنابراین دو دسته رویکرد قابل ذکر است: «متمرکزسازی پیشین»<sup>۱۵</sup> که از طریق گستته‌سازی مدل دینامیکی انجام می‌شود و «متمرکزسازی پسین»<sup>۱۶</sup> که صرفاً حین محاسبه‌ی تتابع مشاهده‌گر بی نهایت بعدی طراحی می‌شود.

از روش‌های اجرای محدود، اختلاف محدود<sup>۱۷</sup>، تخمین گلرکین، بسط توابع ویژه<sup>۱۸</sup> و تجزیه‌ی متعامد<sup>۱۹</sup> به منظور متمرکزسازی بهره می‌گیرند. برخی از مطالعات موجود<sup>[۲۰-۲۱]</sup> نمونه‌هایی از متمرکزسازی پیشین هستند در حالی که در بررسی‌های دیگر<sup>[۲۵-۲۶]</sup> مشاهده‌گرهای بی نهایت بعدی طراحی شده است.

محققان به وسیله‌ی مشاهده‌گر  $H_{\infty}$ ، پایدارسازی وضعیت ماهواره به صورت مقاوم در برابر اغتشاش را انجام داده‌اند.<sup>[۲۶]</sup> آنان همچنین به کنترل وضعیت برای ماهواره‌های منعطف پرداخته<sup>[۲۷]</sup> و مشاهده‌گری برای کوتربینوها و مدل گستته‌سازی شده طراحی کرده‌اند. در مطالعات دیگری<sup>[۲۸]</sup>، یک کنترل کننده‌ی مقاوم به همراه یک جبران‌کننده مبتنی بر مشاهده‌گر طراحی شده است تا تعیت کردن وضعیت در مدل متمرکز شده دو ماهواره‌ی میکروصلب که با تیر انعطاف‌پذیر به یکدیگر متصل شده‌اند، بررسی شود.

پژوهشگران یک مشاهده‌گر برای بازوی مکانیکی دو عضوی بر اساس مدل دینامیکی غیرخطی با معادلات جزیی طراحی کرده‌اند<sup>[۲۹]</sup> که به محاسبه‌ی پسخوراندهایی پیچیده از مرزها نیاز دارد. مشاهده‌گر دیگری نیز بر اساس مدل بازوی مکانیکی منعطف تک عضوی با معادلات جزیی معروفی شده است<sup>[۳۰]</sup> که به پسخوراندهای وضعیت و نزدیکی تغییر آن علاوه بر مکان و سرعت نوک بازو نیاز دارد.

کنترل مرزی خروجی مبنی بر مشاهده‌گر برای تیر اولر - برنولی<sup>[۳۱]</sup> می‌تواند به طور نمونه برای عضو انعطاف‌پذیر در ربات‌ها اعمال شود. در مطالعه‌ی دیگری<sup>[۳۲]</sup> نیز با استفاده از روش پسگام زدن، طراحی مشاهده‌گر برای یک دسته از معادلات مرتبط دیفرانسیل هذلولی معمولی و جزیی مربوط به سیستم‌های زنجیره‌یی<sup>۹</sup> معرفی شده است. اندازه‌گیری در یک مرز انتهایی انجام می‌شود و نویسنگان به طور موقوفیت‌آمیزی روش خود را در فرایند حفاری چاه نفت به کار برده‌اند. معادلات دیفرانسیل مورد بررسی، فقط از مرتبه اول مشتقات زمان و مکان هستند.

در مطالعه‌ی دیگر، ماهواره‌ی منعطف به صورت یک تیر طره چرخان جوش شده به بدنه‌ی صلب مدل شده است.<sup>[۳۳]</sup> به منظور کنترل وضعیت و ارتعاشات از دو قانون کنترلی مرزی و یک گشتاور کنترلی گستردۀ استفاده شده است. مشاهده‌گری برای تخمین نیروی اغتشاشی گستردۀ طراحی شده است. البته تمامی متغیرهای حالت از دینامیک وضعیت و ارتعاشات که در مدل دینامیکی ظاهر شده‌اند باستثنی اندازه‌گیری شود که عملیاتی نیست.

## ۱. نوآوری‌های مطالعه‌ی حاضر

- عموماً در کنترل مرزی ماهواره فقط به دینامیک صفحه‌یی شامل دوران صلب

$$\begin{aligned}
 & + \int_0^l w''_{r1} d\xi_{r1} + \int_0^l w''_{r2} d\xi_{r2} ] + \sqrt{k_b} (w'_{r1}|_0)^2 \\
 & + \sqrt{k_s} (w'_{r1}|_0 - w'_{r1}|_l)^2 + \sqrt{k_b} (w'_{r2}|_0)^2 \\
 & + \sqrt{k_s} (w'_{r2}|_0 - w'_{r2}|_l)^2 + \sqrt{G I_p} [\int_0^l \varphi'_{r1} d\xi_{r1} \\
 & + \int_0^l \varphi'_{r2} d\xi_{r2} + \int_0^l \varphi'_{l1} d\xi_{l1} + \int_0^l \varphi'_{l2} d\xi_{l2}] \quad (2-2)
 \end{aligned}$$

$$\begin{aligned}
 \delta E_w = & \tau_z \delta \theta + \tau_x \delta \phi - c_b \dot{w}'_{r1}|_0 (\delta w'_{r1}|_0) \\
 & - c_s (\dot{w}'_{r1}|_0 - \dot{w}'_{r1}|_l) (\delta w'_{r1}|_0 - \delta w'_{r1}|_l) \\
 & - c_s (\dot{w}'_{r2}|_0 - \dot{w}'_{r2}|_l) (\delta w'_{r2}|_0 - \delta w'_{r2}|_l) \\
 & - c_b \dot{w}'_{l1}|_0 (\delta w'_{l1}|_0) - c \dot{\varphi}_{r1}|_0 \delta \varphi_{r1}|_l - c \dot{\varphi}_{r2}|_l \delta \varphi_{r2}|_l \quad (2-3)
 \end{aligned}$$

در معادلات بالا پارامترهای  $\rho$ ,  $E$ ,  $I_p$ ,  $A$ ,  $J$ ,  $G$  و  $k_s$  به ترتیب معرف چگالی، مدول یانگ، مساحت مقطع و ممان دوم اینرسی مقطع، مدول برشی و ممان قطبی سطح مقطع برای کلیه تیرهای است. نماد  $(\cdot)$  به معنای مشتق نسبت به مکان ( $x$ ) و عدد بالاترین مرتبه نشانگر مرتبه مشتق است. همچنین زیروند های  $|_0$  و  $|_l$  به معنای محاسبه کیمیت پیش از آن در مکان های  $0$  و  $l$  است. به منظور محاسبه معادلات دینامیک حاکم، از اصل هامیلتون استفاده می شود.

$$\int_0^t (\delta E_p - \delta E_k - \delta E_w) dt = 0 \quad (3)$$

نماد وردش به صورت  $\delta$  در نظر گرفته می شود. با جایگزینی روابط انرژی جنبشی، پتانسیل و کار مجازی در معادله فوق و پس از انتگرال گیری جزئی و مرتب سازی داریم:

$$\delta w_{r1} : \rho A \ddot{y}_{r1} + EI w'''_{r1} = 0 \quad (4-1)$$

$$\delta w_{r2} : \rho A \ddot{y}_{r2} + EI w'''_{r2} = 0 \quad (4-2)$$

$$\delta w_{l1} : \rho A \ddot{y}_{l1} + EI w'''_{l1} = 0 \quad (4-3)$$

$$\delta w_{l2} : \rho A \ddot{y}_{l2} + EI w'''_{l2} = 0 \quad (4-4)$$

$$\begin{aligned}
 \delta \theta : J_z \ddot{\theta} = & \tau_z + EI [-h w'''_{r1}|_0 + w''_{r1}|_0 - w''_{r1}|_l \\
 & + w''_{r2}|_0 - h w'''_{r1}|_0 + w''_{r1}|_0 - w''_{r1}|_l + w''_{r2}|_0] \quad (4-5)
 \end{aligned}$$

$$\delta \varphi_{r1} : \rho I_p \ddot{\Phi}_{r1} - GI_p \varphi''_{r1} = 0 \quad (5-1)$$

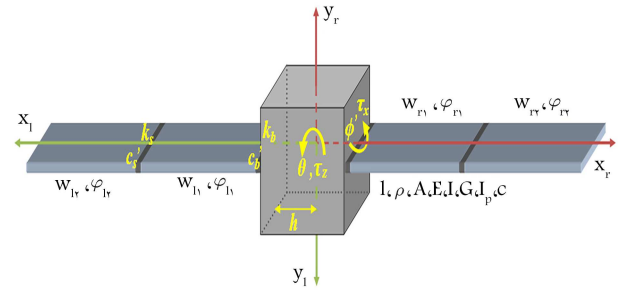
$$\delta \varphi_{r2} : \rho I_p \ddot{\Phi}_{r2} - GI_p \varphi''_{r2} = 0 \quad (5-2)$$

$$\delta \varphi_{l1} : \rho I_p \ddot{\Phi}_{l1} - GI_p \varphi''_{l1} = 0 \quad (5-3)$$

$$\delta \varphi_{l2} : \rho I_p \ddot{\Phi}_{l2} - GI_p \varphi''_{l2} = 0 \quad (5-4)$$

$$\begin{aligned}
 \delta \phi : J_x \ddot{\phi} = & \tau_x + GI_p [\varphi'_{r1}|_0 - \varphi'_{r1}|_l \\
 & + \varphi'_{r2}|_0 + \varphi'_{l1}|_0 - \varphi'_{l1}|_l + \varphi'_{l2}|_0] \quad (5-5)
 \end{aligned}$$

$$\delta w'_{r1}|_0 : k_b w'_{r1}|_0 - EI w''_{r1}|_0 + c_b \dot{w}'_{r1}|_0 = 0 \quad (6-1)$$



شکل ۱. شماتیک مدل ماهواره.

## ۲. مدل سازی دینامیکی

در شکل ۱، نمای شماتیک ماهواره مورد نظر نشان داده شده است. متغیرهای  $\tau_z$ ,  $\tau_x$ ,  $l$ ,  $k_b$ ,  $c_b$ ,  $k_s$ ,  $c_s$ ,  $c$  و پارامترهای  $\theta$ ,  $\phi$ ,  $w_{r1}, \dots, w_{l2}$ ,  $\varphi_{r1}, \dots, \varphi_{l2}$  ترتیب معرف زوایای رول و پیچ ماهواره، تغییر شکل خمشی و پیچش در قسمت های صفحات خورشیدی سمت راست و چپ بدنه اصلی، گشتاور عملکر، طول هر قسمت از صفحات، ضرایب سختی و میرایی اتصالات مابین صفحات و بدنه ای اصلی همچنین مابین قسمت های صفحات خورشیدی در خمش و میرایی ساختاری تخمینی در پیچش است. دستگاه های مختصات بدنه مطابق شکل بالا با مراکز متعلق به مرکز جرم بدنه ای اصلی در نظر گرفته شده است. روابط مربوط به سرعت خطی و سرعت زاویه بی هر المان روی تیرها، با فرض زاویه تغییر شکل پیچشی کوچک، عبارت است از:

$$\begin{aligned}
 \dot{y}_{r1} \hat{j}_r &= [(h + \xi_{r1})\dot{\theta} + \dot{w}_{r1}] \hat{j}_r \\
 \dot{y}_{r2} \hat{j}_r &= [(h + l + \xi_{r2})\dot{\theta} + \dot{w}_{r2}] \hat{j}_r \\
 \dot{y}_{l1} \hat{j}_l &= [(h + \xi_{l1})\dot{\theta} + \dot{w}_{l1}] \hat{j}_l \\
 \dot{y}_{l2} \hat{j}_l &= [(h + l + \xi_{l2})\dot{\theta} + \dot{w}_{l2}] \hat{j}_l \quad (1-1)
 \end{aligned}$$

$$\dot{\Phi}_{r1} \hat{i}_r = (\dot{\phi} + \dot{\varphi}_{r1}) \hat{i}_r, \dot{\Phi}_{r2} \hat{i}_r = (\dot{\phi} + \dot{\varphi}_{r2}) \hat{i}_r \quad (1-2)$$

$$\dot{\Phi}_{l1} \hat{i}_r = (\dot{\phi} + \dot{\varphi}_{l1}) \hat{i}_r, \dot{\Phi}_{l2} \hat{i}_r = (\dot{\phi} + \dot{\varphi}_{l2}) \hat{i}_r \quad (1-3)$$

در روابط فوق  $\hat{j}_r$ ,  $\hat{i}_r$  و  $\hat{i}_l$  به ترتیب معرف بردارهای یکه در راستای محورهای  $x_r$ ,  $y_r$ ,  $x_l$ ,  $y_l$  و  $x_{l2}$  است. پارامتر  $\xi$  کمیت مکان در امتداد هر تیر است و باقی پارامترها در شکل ۱ نشان داده شده اند. بالاترین نقطه روی هر مختصات بیانگر مشتق نسبت به زمان است. انرژی جنبشی، انرژی پتانسیل و کار مجازی چنین محاسبه می شود:

$$\begin{aligned}
 E_k &= \frac{1}{2} \rho A [\int_0^l \dot{y}_{r1}^2 d\xi_{r1} + \int_0^l \dot{y}_{r2}^2 d\xi_{r2} + \int_0^l \dot{y}_{l1}^2 d\xi_{l1} \\
 & + \int_0^l \dot{y}_{l2}^2 d\xi_{l2}] + \frac{1}{2} J_z \dot{\theta}^2 + \frac{1}{2} \rho I_p [\int_0^l \dot{\Phi}_{r1}^2 d\xi_{r1} \\
 & + \int_0^l \dot{\Phi}_{r2}^2 d\xi_{r2} + \int_0^l \dot{\Phi}_{l1}^2 d\xi_{l1} + \int_0^l \dot{\Phi}_{l2}^2 d\xi_{l2}] + \frac{1}{2} J_x \dot{\phi}^2 \quad (2-1)
 \end{aligned}$$

$$E_p = \frac{1}{2} EI [\int_0^l w''_{r1}^2 d\xi_{r1} + \int_0^l w''_{r2}^2 d\xi_{r2}]$$

$$\begin{aligned}
 R_{bl} &= -EI[h w'''_{l\backslash}]_o - w''_{l\backslash}]_o \\
 &= -EIh w'''_{l\backslash}]_o + k_b w'_{l\backslash}]_o + c_b \dot{w}'_{l\backslash}]_o \\
 R_{br} &= -EI[h w'''_{r\backslash}]_o - w''_{r\backslash}]_o \\
 &= -EIh w'''_{r\backslash}]_o + k_b w'_{r\backslash}]_o + c_b \dot{w}'_{r\backslash}]_o \\
 \rho I_p \ddot{\Phi}_{r/l\backslash n} - GI_p \varphi''_{r/l\backslash n} &= 0 \\
 J_x \ddot{\phi} &= \tau_x + R_{tl} + R_{tr}, R_{tl} = GI_p \varphi'_{l\backslash}]_o + c \dot{\varphi}_{l\backslash}]_o \\
 R_{tr} &= GI_p \varphi'_{r\backslash}]_o + c \dot{\varphi}_{r\backslash}]_o
 \end{aligned} \tag{11-2}$$

در روابط فوق اندیس (n/r/1) سمت راست یا چپ و شماره قسمت مورد نظر از صفحات خورشیدی را تعیین می‌کند. به علاوه  $R_{bl}$ ,  $R_{br}$ ,  $R_{tl}$  و  $R_{tr}$  گشتاورهای عکس‌العملی در خمیش و پیچش هستند که از جانب صفحات سمت چپ و راست به بدنه‌ی اصلی اعمال می‌شوند.

### ۳. طراحی مشاهده‌گر

با فرض آن که تنها مقادیر وضعیت و سرعت زاویه‌یی ماهواره اندازه‌گیری می‌شود، تمامی متغیرهای حالت دیگر به وسیله مشاهده‌گر تخمین زده می‌شود. برای محاسبه‌ی معادلات مشاهده‌گر که به فرم دیفرانسیل مرتبط معمولی و جزیی است، معادلات دینامیکی سیستم چنین بازنویسی می‌شود:

$$\rho A \ddot{y}_{r/l\backslash n} + EI \hat{w}_{r/l\backslash n}''' = 0 \tag{12-1}$$

$$J_z \ddot{\theta} = \tau_z + \hat{R}_{bl} + \hat{R}_{br} - k_{bop} \tilde{\theta} - k_{bod} \dot{\theta}; \tilde{\theta} = \theta - \hat{\theta}$$

$$\hat{R}_{bl} = -EI[h \hat{w}_{l\backslash}''']_o - \hat{w}_{l\backslash}''']_o$$

$$= -EIh \hat{w}_{l\backslash}''']_o + k_b \hat{w}_{l\backslash}']_o + c_b \dot{\hat{w}}_{l\backslash}']_o$$

$$\hat{R}_{br} = -EI[h \hat{w}_{r\backslash}''']_o - \hat{w}_{r\backslash}''']_o$$

$$= -EIh \hat{w}_{r\backslash}''']_o + k_b \hat{w}_{r\backslash}']_o + c_b \dot{\hat{w}}_{r\backslash}']_o$$

$$\rho I_p \ddot{\Phi}_{r/l\backslash n} - GI_p \hat{\varphi}_{r/l\backslash n}'' = 0 \tag{13-1}$$

$$J_x \ddot{\phi} = \tau_x + \hat{R}_{tl} + \hat{R}_{tr} - k_{top} \tilde{\phi} - k_{tod} \dot{\phi}; \tilde{\phi} = \phi - \hat{\phi}$$

$$\hat{R}_{tl} = GI_p \hat{\varphi}_{l\backslash}']_o + c \dot{\hat{\varphi}}_{l\backslash}']_o$$

$$\hat{R}_{tr} = GI_p \hat{\varphi}_{r\backslash}']_o + c \dot{\hat{\varphi}}_{r\backslash}']_o \tag{13-2}$$

نمادهای ( $\hat{\phi}$ ) و ( $\tilde{\phi}$ ) به ترتیب معرف مقادیر تخمینی و خطای تخمین متغیرهای سیستم می‌باشند. ضرایب  $k_{top}$ ,  $k_{bod}$ ,  $k_{bop}$  بهره‌های مشبت مشاهده‌گر هستند. به طور مشابه روابط شرایط مرزی ۶ و ۷ قابل بازنویسی است. در ۲-۱۲ و ۲-۱۳ خطاهای تخمین وضعیت و سرعت زاویه‌یی ماهواره به عنوان ورودی در معادلات مشاهده‌گر استفاده شده است. با تفربیت روابط بالا از معادلات دینامیکی سیستم، دینامیک خطای به دست می‌آید:

$$\rho A \ddot{y}_{r/l\backslash n} + EI \tilde{w}_{r/l\backslash n}''' = 0 \tag{14-1}$$

$$J_z \ddot{\theta} = \tilde{R}_{bl} + \tilde{R}_{br} - k_{bop} \tilde{\theta} - k_{bod} \dot{\tilde{\theta}}; \tilde{\theta} = \theta - \hat{\theta}$$

$$\tilde{R}_{bl} = -EI[h \tilde{w}_{l\backslash}''']_o - \tilde{w}_{l\backslash}''']_o$$

$$\begin{aligned}
 \delta w'_{r\backslash}]_l : EI w''_{r\backslash}]_l - k_s(w'_{r\backslash}]_o - w'_{r\backslash}]_l) \\
 - c_s(w'_{r\backslash}]_o - \dot{w}'_{r\backslash}]_l) = 0
 \end{aligned} \tag{6-2}$$

$$\begin{aligned}
 \delta w'_{r\backslash}]_o : -EI w''_{r\backslash}]_o + k_s(w'_{r\backslash}]_o - w'_{r\backslash}]_l) \\
 + c_s(w'_{r\backslash}]_o - \dot{w}'_{r\backslash}]_l) = 0
 \end{aligned} \tag{6-3}$$

$$\delta w'_{l\backslash}]_o : k_b w'_{l\backslash}]_o - EI w''_{l\backslash}]_o + c_b \dot{w}'_{l\backslash}]_o = 0 \tag{6-4}$$

$$\begin{aligned}
 \delta w'_{l\backslash}]_l : EI w''_{l\backslash}]_l - k_s(w'_{l\backslash}]_o - w'_{l\backslash}]_l) \\
 - c_s(w'_{l\backslash}]_o - \dot{w}'_{l\backslash}]_l) = 0
 \end{aligned} \tag{6-5}$$

$$\begin{aligned}
 \delta w'_{l\backslash}]_o : -EI w''_{l\backslash}]_o + k_s(w'_{l\backslash}]_o - w'_{l\backslash}]_l) \\
 + c_s(w'_{l\backslash}]_o - \dot{w}'_{l\backslash}]_l) = 0
 \end{aligned} \tag{6-6}$$

$$\varphi_{r\backslash}]_l = \varphi_{r\backslash}]_o \rightarrow \delta \varphi_{r\backslash}]_l : GI_p (\varphi'_{r\backslash}]_l - \varphi'_{r\backslash}]_o) = 0 \tag{7-1}$$

$$\delta \varphi_{r\backslash}]_l : GI_p \varphi'_{r\backslash}]_l + c \dot{\varphi}_{r\backslash}]_l = 0 \tag{7-2}$$

$$\varphi_{l\backslash}]_l = \varphi_{l\backslash}]_o \rightarrow \delta \varphi_{l\backslash}]_l : GI_p (\varphi'_{l\backslash}]_l - \varphi'_{l\backslash}]_o) = 0 \tag{7-3}$$

$$\delta \varphi_{l\backslash}]_l : GI_p \varphi'_{l\backslash}]_l + c \dot{\varphi}_{l\backslash}]_l = 0 \tag{7-4}$$

از جمع معادلات شرایط مرزی ۶ برای تیرهای سمت راست و تیرهای سمت چپ، خواهیم داشت:

$$k_b w'_{r\backslash}]_o + c_b \dot{w}'_{r\backslash}]_o + EI (w''_{r\backslash}]_l - w''_{r\backslash}]_o - w''_{r\backslash}]_o) = 0 \tag{8-1}$$

$$k_b w'_{l\backslash}]_o + c_b \dot{w}'_{l\backslash}]_o + EI (w''_{l\backslash}]_l - w''_{l\backslash}]_o - w''_{l\backslash}]_o) = 0 \tag{8-2}$$

پس از جایگذاری روابط ۴-۵ و ۷ در ۵-۶ خواهیم داشت:

$$\begin{aligned}
 J_z \ddot{\theta} &= \tau_z - EIh (w'''_{r\backslash}]_o + w'''_{l\backslash}]_o) \\
 &+ k_b (w'_{r\backslash}]_o + w'_{l\backslash}]_o) + c_b (w'_{r\backslash}]_o + \dot{w}'_{l\backslash}]_o)
 \end{aligned} \tag{9-1}$$

$$\begin{aligned}
 J_x \ddot{\phi} &= \tau_x + GI_p (\varphi'_{r\backslash}]_o + \varphi'_{l\backslash}]_o) \\
 &+ c \dot{\varphi}_{r\backslash}]_l + c \dot{\varphi}_{l\backslash}]_l
 \end{aligned} \tag{9-2}$$

معادلات ۹ نشان می‌دهد چگونه ارتعاشات صفحات خورشیدی دینامیک وضعیت بدنه‌ی اصلی را تحت تأثیر قرار می‌دهد. جملات دوم، سوم و چهارم در سمت راست رابطه‌ی ۹-۱ به ترتیب مبنی گشتاور اعمال شده از طریق نیروی برشی و گشتاور ناشی از سختی ارتجاعی و میرایی ویکوز در اتصال بین صفحات خورشیدی با بدنه‌ی اصلی ماهواره است. همچنین جمله‌ی دوم در سمت راست معادله‌ی ۹-۲ معرف گشتاور برشی ناشی از پیچش صفحات خورشیدی در محل اتصال با هاب است.

برای یک فرم کلی از ماهواره‌ها با صفحات مشتمل از هر تعداد قسمت در دو یا یک سمت، دستگاه معادلات دینامیکی حاکم، شامل ۱۰-۱ و ۱۱-۱ را برای هر قسمت از صفحات به همراه ۱۰-۲ و ۱۱-۲ به عنوان دینامیک وضعیت، می‌توان نوشت:

$$\rho A \ddot{y}_{r/l\backslash n} + EI \tilde{w}_{r/l\backslash n}''' = 0 \tag{10-1}$$

$$J_z \ddot{\theta} = \tau_z + R_{bl} + R_{br}$$

$$\begin{aligned}
 & + \int_0^l \tilde{w}_{l\backslash}'' \left( \frac{\partial \tilde{w}_{l\backslash}''}{\partial t} \right) d\xi_{l\backslash} + \int_0^l \tilde{w}_{l\backslash}'' \left( \frac{\partial \tilde{w}_{r\backslash}''}{\partial t} \right) d\xi_{r\backslash} \\
 \dot{E}_{to} = & \rho I_p \left[ \int_0^l \ddot{\Phi}_{r\backslash} \ddot{\Phi}_{r\backslash} d\xi_{r\backslash} + \int_0^l \ddot{\Phi}_{r\backslash} \ddot{\Phi}_{l\backslash} d\xi_{l\backslash} \right. \\
 & \left. + \int_0^l \ddot{\Phi}_{l\backslash} \ddot{\Phi}_{l\backslash} d\xi_{l\backslash} + \int_0^l \ddot{\Phi}_{l\backslash} \ddot{\Phi}_{r\backslash} d\xi_{r\backslash} \right] + \\
 GI_p \int_0^l \tilde{\varphi}'_{r\backslash} \left( \frac{\partial \tilde{\varphi}'_{r\backslash}}{\partial t} \right) d\xi_{r\backslash} + & \int_0^l \tilde{\varphi}'_{r\backslash} \left( \frac{\partial \tilde{\varphi}'_{l\backslash}}{\partial t} \right) d\xi_{r\backslash} \\
 + \int_0^l \tilde{\varphi}'_{l\backslash} \left( \frac{\partial \tilde{\varphi}'_{l\backslash}}{\partial t} \right) d\xi_{l\backslash} + & \int_0^l \tilde{\varphi}'_{l\backslash} \left( \frac{\partial \tilde{\varphi}'_{r\backslash}}{\partial t} \right) d\xi_{r\backslash} \quad (17-3)
 \end{aligned}$$

$$\begin{aligned}
 & = -EIh \tilde{w}_{l\backslash}'''|_0 + k_b \tilde{w}'_{l\backslash}|_0 + c_b \dot{w}'_{l\backslash}|_0 \\
 \tilde{R}_{br} = & -EI[h \tilde{w}_{r\backslash}'''|_0 - \tilde{w}_{r\backslash}''|_0] \\
 = & -EIh \tilde{w}_{r\backslash}'''|_0 + k_b \tilde{w}'_{r\backslash}|_0 + c_b \dot{w}'_{r\backslash}|_0 \quad (14-2) \\
 \rho I_p \ddot{\Phi}_{r/l\backslash n} - GI_p \tilde{\varphi}_{r/l\backslash n}'' = & 0 \quad (15-1) \\
 J_x \ddot{\phi} = & \tilde{R}_{tl} + \tilde{R}_{tr} - k_{top} \tilde{\phi} - k_{tod} \dot{\phi}; \tilde{\phi} = \phi - \hat{\phi} \\
 \tilde{R}_{tl} = & GI_p \tilde{\varphi}'_{l\backslash}|_0 + c \dot{\varphi}_{l\backslash}|_0 \\
 \tilde{R}_{tr} = & GI_p \tilde{\varphi}'_{r\backslash}|_0 + c \dot{\varphi}_{r\backslash}|_0 \quad (15-2)
 \end{aligned}$$

به منظور اثبات پایداری این مشاهده‌گر، یکتابع کاندید لیاپانوف تعریف می‌کنیم:

$$\begin{aligned}
 V_o = & E_{bo} + 1/2 J_z \dot{\theta}^2 + 1/2 k_{bop} \tilde{\theta}^2 \\
 & + 1/2 J_x \dot{\phi}^2 + 1/2 k_s [(\tilde{w}'_{r\backslash}|_0 - \tilde{w}'_{r\backslash}|_l)^2 \\
 & + E_{to} + 1/2 k_{top} \tilde{\phi}^2 + (\tilde{w}'_{l\backslash}|_0 - \tilde{w}'_{l\backslash}|_l)^2] \\
 & + 1/2 k_b [(\tilde{w}'_{r\backslash}|_0)^2 + (\tilde{w}'_{l\backslash}|_0)^2] \quad (16-1)
 \end{aligned}$$

$$\begin{aligned}
 E_{bo} = & 1/\sqrt{\rho A} \left[ \int_0^l \dot{y}_{r\backslash}^2 d\xi_{r\backslash} + \int_0^l \dot{y}_{r\backslash}^2 d\xi_{r\backslash} \right. \\
 & \left. + \int_0^l \dot{y}_{l\backslash}^2 d\xi_{l\backslash} + \int_0^l \dot{y}_{l\backslash}^2 d\xi_{l\backslash} \right] + 1/\sqrt{EI} \left[ \int_0^l \tilde{w}''_{r\backslash}^2 d\xi_{r\backslash} \right. \\
 & \left. + \int_0^l \tilde{w}''_{r\backslash}^2 d\xi_{r\backslash} + \int_0^l \tilde{w}''_{l\backslash}^2 d\xi_{l\backslash} + \int_0^l \tilde{w}''_{l\backslash}^2 d\xi_{l\backslash} \right] \quad (16-2) \\
 E_{to} = & 1/\sqrt{\rho I_p} \left[ \int_0^l \dot{\Phi}_{r\backslash}^2 d\xi_{r\backslash} + \int_0^l \dot{\Phi}_{r\backslash}^2 d\xi_{r\backslash} \right. \\
 & \left. + \int_0^l \dot{\Phi}_{l\backslash}^2 d\xi_{l\backslash} + \int_0^l \dot{\Phi}_{l\backslash}^2 d\xi_{l\backslash} \right] + 1/\sqrt{GI_p} \left[ \int_0^l \tilde{\varphi}'_{r\backslash}^2 d\xi_{r\backslash} \right. \\
 & \left. + \int_0^l \tilde{\varphi}'_{r\backslash}^2 d\xi_{r\backslash} + \int_0^l \tilde{\varphi}'_{l\backslash}^2 d\xi_{l\backslash} + \int_0^l \tilde{\varphi}'_{l\backslash}^2 d\xi_{l\backslash} \right] \quad (16-3)
 \end{aligned}$$

سپس مشتق زمانی تابع کاندید لیاپانوف مثبت معین بالا را محاسبه می‌کنیم.

$$\begin{aligned}
 \dot{V}_o = & J_z \dot{\theta} \ddot{\theta} + k_{bop} \tilde{\theta} \ddot{\theta} + J_x \dot{\phi} \ddot{\phi} + k_{top} \tilde{\phi} \ddot{\phi} \\
 & + k_b [(\tilde{w}'_{r\backslash}|_0)(\dot{w}'_{r\backslash}|_0) + (\tilde{w}'_{l\backslash}|_0)(\dot{w}'_{l\backslash}|_0)] \\
 & + k_s [(\tilde{w}'_{r\backslash}|_0 - \tilde{w}'_{r\backslash}|_l)(\dot{w}'_{r\backslash}|_0 - \dot{w}'_{r\backslash}|_l) + \dot{E}_{bo} \\
 & + (\tilde{w}'_{l\backslash}|_0 - \tilde{w}'_{l\backslash}|_l)(\dot{w}'_{l\backslash}|_0 - \dot{w}'_{l\backslash}|_l)] + \dot{E}_{to} \quad (17-1)
 \end{aligned}$$

$$\begin{aligned}
 \dot{E}_{bo} = & \rho A \left[ \int_0^l \dot{y}_{r\backslash} \ddot{y}_{r\backslash} d\xi_{r\backslash} + \int_0^l \dot{y}_{r\backslash} \ddot{y}_{r\backslash} d\xi_{r\backslash} \right. \\
 & \left. + \int_0^l \dot{y}_{l\backslash} \ddot{y}_{l\backslash} d\xi_{l\backslash} + \int_0^l \dot{y}_{l\backslash} \ddot{y}_{l\backslash} d\xi_{l\backslash} \right] + \\
 EI \left[ \int_0^l \tilde{w}_{r\backslash}'' \left( \frac{\partial \tilde{w}_{r\backslash}''}{\partial t} \right) d\xi_{r\backslash} + \int_0^l \tilde{w}_{r\backslash}'' \left( \frac{\partial \tilde{w}_{r\backslash}''}{\partial t} \right) d\xi_{r\backslash} \right. \\
 & \left. + \int_0^l \tilde{w}_{l\backslash}'' \left( \frac{\partial \tilde{w}_{l\backslash}''}{\partial t} \right) d\xi_{l\backslash} + \int_0^l \tilde{w}_{l\backslash}'' \left( \frac{\partial \tilde{w}_{l\backslash}''}{\partial t} \right) d\xi_{l\backslash} \right]
 \end{aligned}$$

$$\begin{aligned}
 \int_0^l \rho I_p \dot{\Phi}_{r\backslash} \ddot{\Phi}_{r\backslash} d\xi_{r\backslash} \stackrel{(15)}{=} & \int_0^l \dot{\Phi}_{r\backslash} G I_p \tilde{\varphi}_{r\backslash}'' d\xi_{r\backslash} \\
 GI_p \dot{\Phi}_{r\backslash} \tilde{\varphi}'_{r\backslash}|_l^l - & \int_0^l G I_p \Phi'_{r\backslash} \tilde{\varphi}'_{r\backslash} d\xi_{r\backslash} = G I_p \{-\dot{\phi} \tilde{\varphi}'_{r\backslash}|_l \\
 + (\dot{\phi} + \dot{\varphi}_{r\backslash}|_l) \tilde{\varphi}'_{r\backslash}|_l - & \int_0^l \tilde{\varphi}'_{r\backslash} \left( \frac{\partial \tilde{\varphi}'_{r\backslash}}{\partial t} \right) d\xi_{r\backslash}\} \quad (19-1)
 \end{aligned}$$

$$II) \int_0^l \rho I_p \dot{\Phi}_{r\backslash} \ddot{\Phi}_{r\backslash} d\xi_{r\backslash} = \int_0^l \dot{\Phi}_{r\backslash} G I_p \tilde{\varphi}_{r\backslash}'' d\xi_{r\backslash} =$$

محاسبه کنیم، قوانین کنترلی عبارت خواهد بود از:

$$\begin{aligned} \tau_z &= -k_{bd}\dot{\theta} - k_{bp}e_\theta - k_{bc}(\hat{w}'_{r\backslash}|_o + \hat{w}'_{l\backslash}|_o) \\ e_\theta &= \theta - \theta_d \end{aligned} \quad (22-1)$$

$$\begin{aligned} \tau_x &= -k_{ta}\dot{\phi} - k_{tp}e_\phi - k_{tc}(\hat{\varphi}'_{r\backslash}|_o + \hat{\varphi}'_{l\backslash}|_o) \\ e_\phi &= \phi - \phi_d \end{aligned} \quad (22-2)$$

و دینامیک مداربسته‌ی وضعیت عبارت خواهد بود از

$$\begin{aligned} J_z\ddot{\theta} &= R_{bl} + R_{br} - k_{bd}\dot{\theta} - k_{bp}e_\theta \\ -k_{bc}(\hat{w}'_{r\backslash}|_o + \hat{w}'_{l\backslash}|_o) \end{aligned} \quad (23-1)$$

$$\begin{aligned} J_x\ddot{\phi} &= R_{tl} + R_{tr} - k_{td}\dot{\phi} - k_{tp}e_\phi \\ -k_{tc}(\hat{\varphi}'_{r\backslash}|_o + \hat{\varphi}'_{l\backslash}|_o) \end{aligned} \quad (23-2)$$

در واقع به منظور محاسبه‌ی پسخوراندها باستی معادلات دینامیکی مشاهده‌گر با شرایط اولیه‌ی تخمینی به صورت همزمان حل شود. در این راستا روش اجرای محدود را به دلیل دقت بالای آن به کار می‌گیریم. مشابه فرایند اثبات پایداری برای روش کنترل ارائه شده، لازم است پایداری سیستم کنترلی مبنی بر مشاهده‌گر نیز اثبات شود. بنابراین مشابه قبل فرایند انتخاب تابع کاندید لیپانوف و روند اثبات را در پیش می‌گیریم:

$$\begin{aligned} V_c &= E_t + 1/2J_x\dot{\phi}^2 + 1/2\alpha_te_\phi^2 + E_b \\ &+ 1/2\beta_t(e_\phi + \frac{\varepsilon_t}{\beta_t}Sgn(\dot{\phi}))^2 + 1/2J_z\dot{\theta}^2 \\ &+ 1/2\beta_b(e_\theta + \frac{\varepsilon_b}{\beta_b}Sgn(\dot{\theta}))^2 + 1/2\alpha_be_\theta^2 \\ &+ 1/2k_s[(w'_{r\backslash}|_o - w'_{r\backslash}|_l)^2 + (w'_{l\backslash}|_o - w'_{l\backslash}|_l)^2] \\ &+ 1/2k_b[(w'_{r\backslash}|_o)^2 + (w'_{l\backslash}|_o)^2] \end{aligned} \quad (24-1)$$

$$\begin{aligned} E_b &= 1/\rho A[\int_0^l \dot{y}'_{r\backslash} d\xi_{r\backslash} + \int_0^l \dot{y}'_{l\backslash} d\xi_{l\backslash} \\ &+ \int_0^l \dot{y}'_{l\backslash} d\xi_{l\backslash} + \int_0^l \dot{y}'_{r\backslash} d\xi_{r\backslash}] + 1/\rho EI[\int_0^l w''_{r\backslash}|_o d\xi_{r\backslash} \\ &+ \int_0^l w''_{l\backslash}|_o d\xi_{l\backslash} + \int_0^l w''_{l\backslash}|_o d\xi_{l\backslash} + \int_0^l w''_{r\backslash}|_o d\xi_{r\backslash}] \end{aligned} \quad (24-2)$$

$$\begin{aligned} E_t &= 1/\rho I_p[\int_0^l \dot{\Phi}'_{r\backslash} d\xi_{r\backslash} + \int_0^l \dot{\Phi}'_{l\backslash} d\xi_{l\backslash} \\ &+ \int_0^l \dot{\Phi}'_{l\backslash} d\xi_{l\backslash} + \int_0^l \dot{\Phi}'_{r\backslash} d\xi_{r\backslash}] + 1/\rho GI_p[\int_0^l \varphi'_{r\backslash}|_o d\xi_{r\backslash} \\ &+ \int_0^l \varphi'_{r\backslash}|_o d\xi_{r\backslash} + \int_0^l \varphi'_{l\backslash}|_o d\xi_{l\backslash} + \int_0^l \varphi'_{l\backslash}|_o d\xi_{l\backslash}] \end{aligned} \quad (24-3)$$

ضرایب  $\alpha_{b/t}$ ,  $\varepsilon_{b/t}$  و  $\beta_{b/t}$  در ادامه تعیین خواهد شد. مشتق زمانی تابع لیپانوف

$$GI_p[\Phi'_{r\backslash}\dot{\varphi}'_{r\backslash}|_o]^l - \int_0^l GI_p[\Phi'_{r\backslash}\dot{\varphi}'_{r\backslash}|_o]d\xi_{r\backslash} =$$

$$\begin{aligned} GI_p\{\dot{\phi} + \dot{\varphi}_{r\backslash}|_l\}\dot{\varphi}'_{r\backslash}|_l - (\dot{\phi} + \dot{\varphi}_{r\backslash}|_o)\dot{\varphi}'_{r\backslash}|_o \\ - \int_0^l \dot{\varphi}'_{r\backslash}(\frac{\partial \dot{\varphi}'_{r\backslash}}{\partial t})d\xi_{r\backslash} \end{aligned} \quad (19-2)$$

پس از بسط دادن مشابه برای صفحات سمت چپ و با اعمال شرایط مرزی و مقداری ساده‌سازی خواهیم داشت:

$$\begin{aligned} \dot{E}_{bo} &= -(\dot{w}'_{r\backslash}|_o - \dot{w}'_{r\backslash}|_l)[k_s(\tilde{w}'_{r\backslash}|_o - \tilde{w}'_{r\backslash}|_l) \\ + c_s(\dot{w}'_{r\backslash}|_o - \dot{w}'_{r\backslash}|_l)] + hEI\dot{\theta}\tilde{w}'_{r\backslash}|_o \\ - (\dot{w}'_{r\backslash}|_o + \dot{\theta})[k_b\tilde{w}'_{r\backslash}|_o + c_b\dot{w}'_{r\backslash}|_o] \\ - (\dot{w}'_{l\backslash}|_o + \dot{\theta})[k_b\tilde{w}'_{l\backslash}|_o + c_b\dot{w}'_{l\backslash}|_o] \\ - (\dot{w}'_{l\backslash}|_o - \dot{w}'_{l\backslash}|_l)[k_s(\tilde{w}'_{l\backslash}|_o - \tilde{w}'_{l\backslash}|_l) \\ + c_s(\dot{w}'_{l\backslash}|_o - \dot{w}'_{l\backslash}|_l)] + hEI\dot{\theta}\tilde{w}'_{l\backslash}|_o \end{aligned} \quad (20-1)$$

$$\begin{aligned} \dot{E}_{to} &= -c(\dot{\varphi}'_{r\backslash}|_l + \dot{\varphi}'_{l\backslash}|_l) \\ - \dot{\phi}[GI_p(\dot{\varphi}'_{r\backslash}|_o + \dot{\varphi}'_{l\backslash}|_o) + c(\dot{\varphi}'_{r\backslash}|_l + \dot{\varphi}'_{l\backslash}|_l)] \end{aligned} \quad (20-2)$$

با لحاظ ۱۴ و ۱۵، از ۲۰ در ۱۷ جایگذاری می‌کنیم:

$$\begin{aligned} \dot{V}_o &= \dot{\theta}[-\tilde{R}_{bl} - \tilde{R}_{br}] - c(\dot{\varphi}'_{r\backslash}|_l + \dot{\varphi}'_{l\backslash}|_l) \\ + \dot{\theta}[\tilde{R}_{bl} + \tilde{R}_{br} - k_{bop}\tilde{\theta} - k_{bod}\dot{\theta}] + k_{bop}\tilde{\theta}\theta \\ - c_s[(\dot{w}'_{r\backslash}|_o - \dot{w}'_{r\backslash}|_l)^2 + (\dot{w}'_{l\backslash}|_o - \dot{w}'_{l\backslash}|_l)^2] \\ - c_b[(\dot{w}'_{r\backslash}|_o)^2 + (\dot{w}'_{l\backslash}|_o)^2] + \dot{\phi}[-\tilde{R}_{tl} - \tilde{R}_{tr}] \\ + \dot{\phi}[\tilde{R}_{tl} + \tilde{R}_{tr} - k_{top}\tilde{\phi} - k_{tod}\dot{\phi}] + k_{top}\tilde{\phi}\phi \\ = -k_{bod}\dot{\theta}^2 - k_{tod}\dot{\phi}^2 \\ - c(\dot{\varphi}'_{r\backslash}|_l + \dot{\varphi}'_{l\backslash}|_l) - c_b[(\dot{w}'_{r\backslash}|_o)^2 + (\dot{w}'_{l\backslash}|_o)^2] \\ - c_s[(\dot{w}'_{r\backslash}|_o - \dot{w}'_{r\backslash}|_l)^2 + (\dot{w}'_{l\backslash}|_o - \dot{w}'_{l\backslash}|_l)^2] \end{aligned} \quad (21)$$

به طور مشخص مشتق زمانی تابع لیپانوف منفی نیمه معین است؛ لذا تمامی جملات در این تابع مثبت معین و به عبارت دیگر خطاهای تخمین متغیرهای حالت مربوط به ارتعاشات و وضعیت ماهواره، محدود باقی می‌ماند. از این فراتر می‌توان تیجه‌گرفت خطاهای تخمین متغیرها به صورت مجانبی به صفر میل می‌کند. این استنتاج در قضیه ۱ (بخش ۵) بر اساس اصل ناوردابی لاسال<sup>[۲۵]</sup> انجام گرفته است.

#### ۴. طراحی کنترل کننده مرزی مبتنی بر مشاهده‌گر

با بهره‌گیری از مشاهده‌گر طراحی شده در بخش قبل، قادریم به کنترل مرزی وضعیت و ارتعاشات ماهواره بپردازیم. اگر فقط داده‌های وضعیت و سرعت زاویه‌ی هاب مورد نیاز باشد و سایر اطلاعات مرزی جهت پسخوراند را با تخمین توسط مشاهده‌گر

چنین محاسبه می‌شود: پس معادله‌ی ۲۶ چنین بازنویسی می‌شود:

$$\begin{aligned} \dot{V}_c &= -c_s[(\dot{w}'_{r1}|_o - \dot{w}'_{r1}|_l)^t + (\dot{w}'_{l1}|_o - \dot{w}'_{l1}|_l)^t] \\ &\quad - c_b[(\dot{w}'_{r1}|_o)^t + (\dot{w}'_{l1}|_o)^t] - c(\dot{\varphi}'_{r1}|_l + \dot{\varphi}'_{l1}|_l) \\ &\quad - k_{td}\dot{\phi}^t - k_{bd}\dot{\theta}^t + \begin{cases} \dot{\phi}f_{t1} < 0, \dot{\phi} < 0 \\ \dot{\phi}f_{t2} < 0, \dot{\phi} > 0 \\ 0, \dot{\phi} = 0 \end{cases} \\ &\quad + \begin{cases} \dot{\theta}f_{b1} < 0, \dot{\theta} < 0 \\ \dot{\theta}f_{b2} < 0, \dot{\theta} > 0 \\ 0, \dot{\theta} = 0 \end{cases} \Rightarrow \dot{V}_c \leq 0 \end{aligned} \quad (26)$$

لذا پایداری به مفهوم لیاپانوف به اثبات رسید.

### ۵. اثبات پایداری مجانبی با حضور مشاهده‌گر

در قضیه‌ی ۱ مجموعه‌ی ناوردای کل سیستم مداربسته مبتنی بر مشاهده‌گر تحلیل و محاسبه شده است. بدین جهت دوتابع لیاپانوف  $V_c$  و  $V_o$  جمع زده می‌شود تا تابع لیاپانوف ناظر بر کل سیستم به دست آید. مشتق زمانی این تابع کلی از روابط ۲۱ و ۲۹ به دست می‌آید.

$$\begin{aligned} V &= V_o + V_c \quad (30-1) \\ \dot{V} &= -c_s[(\dot{w}'_{r1}|_o - \dot{w}'_{r1}|_l)^t + (\dot{w}'_{l1}|_o - \dot{w}'_{l1}|_l)^t \\ &\quad + (\dot{w}'_{r1}|_o - \dot{w}'_{r1}|_l)^t + (\dot{w}'_{l1}|_o - \dot{w}'_{l1}|_l)^t] \\ &\quad - c_b[(\dot{w}'_{r1}|_o)^t + (\dot{w}'_{l1}|_o)^t + (\dot{w}'_{r1}|_o)^t + (\dot{w}'_{l1}|_o)^t] \\ &\quad - c(\dot{\varphi}'_{r1}|_l + \dot{\varphi}'_{l1}|_l) - k_{bd}\dot{\theta}^t - k_{td}\dot{\phi}^t \\ &\quad - k_{bd}\dot{\theta}^t - k_{td}\dot{\phi}^t + \begin{cases} \dot{\phi}f_{t1} < 0, \dot{\phi} < 0 \\ \dot{\phi}f_{t2} < 0, \dot{\phi} \geq 0 \end{cases} \\ &\quad + \begin{cases} \dot{\theta}f_{b1} < 0, \dot{\theta} < 0 \\ \dot{\theta}f_{b2} < 0, \dot{\theta} \geq 0 \end{cases} \Rightarrow \dot{V} \leq 0 \end{aligned} \quad (30-2)$$

بنابراین سیستم به مجموعه‌ی ناوردای خود میل می‌کند که از اتحاد  $V^\circ = 0$  محاسبه می‌شود.

**قضیه‌ی ۱:** شرط لازم برای  $V^\circ = 0$  عبارت است از  $\dot{\theta} = \dot{\phi} = 0$  و  $\dot{\theta} = \dot{\phi}$  یعنی در چنین شرایطی، وضعیت و خطای تخمین آن مقادیری ثابت دارند که با  $\theta = \phi = 0$  و  $\tilde{\theta} = \tilde{\phi}$  نامگذاری می‌شوند.

$$\dot{\theta} = 0 \Rightarrow \theta = \theta_0 = cte, \ddot{\theta} = 0 \quad (10)$$

$$\rho A \ddot{w}_{r/l} + EI w'''_{r/l} = 0 \quad (31-1)$$

$$\dot{\theta} = 0 \Rightarrow \tilde{\theta} = \tilde{\theta}_0 = cte, \ddot{\theta} = 0 \quad (14)$$

$$\rho A \ddot{w}_{r/l} + EI \tilde{w}'''_{r/l} = 0 \quad (31-2)$$

$$\hat{\theta} = \theta - \tilde{\theta} \Rightarrow \hat{\theta} = \hat{\theta}_0 = cte, \ddot{\theta} = 0 \quad (12)$$

$$\rho A \ddot{w}_{r/l} + EI \hat{w}'''_{r/l} = 0 \quad (31-3)$$

بنابراین:

$$\begin{aligned} \dot{V}_c &= J_x \dot{\phi} \ddot{\phi} + \alpha_t e_\phi \dot{\phi} + \beta_t \dot{\phi} (e_\phi + \frac{\varepsilon_t}{\beta_t} Sgn(\dot{\phi})) \\ &\quad + J_z \dot{\theta} \ddot{\theta} + \alpha_b e_\theta \dot{\theta} + \beta_b \dot{\theta} (e_\theta + \frac{\varepsilon_b}{\beta_b} Sgn(\dot{\theta})) \\ &\quad + k_s[(\dot{w}'_{r1}|_o - \dot{w}'_{r1}|_l)(\dot{w}'_{r1}|_o - \dot{w}'_{r1}|_l) + \dot{E}_t \\ &\quad + (\dot{w}'_{l1}|_o - \dot{w}'_{l1}|_l)(\dot{w}'_{l1}|_o - \dot{w}'_{l1}|_l)] + \dot{E}_b \\ &\quad + k_b[(\dot{w}'_{r1}|_o)(\dot{w}'_{r1}|_o) + (\dot{w}'_{l1}|_o)(\dot{w}'_{l1}|_o)] \end{aligned} \quad (25-1)$$

$$\begin{aligned} \dot{E}_b &= -(\dot{w}'_{r1}|_o - \dot{w}'_{r1}|_l)[k_s(\dot{w}'_{r1}|_o - \dot{w}'_{r1}|_l) \\ &\quad + c_s(\dot{w}'_{r1}|_o - \dot{w}'_{r1}|_l)] + hEI \dot{\theta} w'''_{l1}|_o \\ &\quad - (\dot{w}'_{r1}|_o + \dot{\theta})[k_b \dot{w}'_{r1}|_o + c_b \dot{w}'_{r1}|_o] \\ &\quad - (\dot{w}'_{l1}|_o + \dot{\theta})[k_b \dot{w}'_{l1}|_o + c_b \dot{w}'_{l1}|_o] \\ &\quad - (\dot{w}'_{l1}|_o - \dot{w}'_{l1}|_l)[k_s(\dot{w}'_{l1}|_o - \dot{w}'_{l1}|_l) \\ &\quad + c_s(\dot{w}'_{l1}|_o - \dot{w}'_{l1}|_l)] + hEI \dot{\theta} w'''_{r1}|_o \end{aligned} \quad (25-2)$$

$$\begin{aligned} \dot{E}_t &= -c(\dot{\varphi}'_{r1}|_l + \dot{\varphi}'_{l1}|_l) \\ &\quad - \dot{\phi}[GI_p(\dot{\varphi}'_{r1}|_o + \dot{\varphi}'_{l1}|_o) + c(\dot{\varphi}'_{r1}|_l + \dot{\varphi}'_{l1}|_l)] \end{aligned} \quad (25-3)$$

$$\begin{aligned} \dot{V}_c &= -k_{bd}\dot{\theta}^t + \dot{\phi}[-k_{tc}(\dot{\varphi}'_{r1}|_o + \dot{\varphi}'_{l1}|_o) \\ &\quad - k_{tp}e_\phi + \alpha_t e_\phi + \beta_t e_\phi + \varepsilon_t Sgn(\dot{\phi})] - k_{td}\dot{\phi}^t \\ &\quad - c(\dot{\varphi}'_{r1}|_l + \dot{\varphi}'_{l1}|_l) + \dot{\theta}[-k_{bc}(\dot{w}'_{r1}|_o + \hat{w}'_{l1}|_o)] \\ &\quad - k_{bp}e_\theta + \alpha_b e_\theta + \beta_b e_\theta + \varepsilon_b Sgn(\dot{\theta}) \\ &\quad - c_s[(\dot{w}'_{r1}|_o - \dot{w}'_{r1}|_l)^t + (\dot{w}'_{l1}|_o - \dot{w}'_{l1}|_l)^t] \\ &\quad - c_b[(\dot{w}'_{r1}|_o)^t + (\dot{w}'_{l1}|_o)^t] \end{aligned} \quad (26)$$

طبق اثبات پایداری لیاپانوف برای مشاهده‌گر در بخش قبل، متغیرهای تخمین زده شده توسط مشاهده‌گر همیشه محدود می‌مانند. بنابراین همواره ضرایب  $\alpha_{b/t}, \varepsilon_{b/t}$  و  $\beta_{b/t}$  را می‌توان به کمک روابط زیر تعیین کرد:

$$\forall k_{bp} > 0 : \exists \alpha_b, \beta_b > 0 | \alpha_b + \beta_b = k_{bp} \quad (27-1)$$

$$\forall t : \exists \varepsilon_b < 0 | \begin{cases} |\varepsilon_b| > |R_b| \\ R_b = k_{bc}(\dot{w}'_{r1}|_o + \hat{w}'_{l1}|_o) \end{cases} \quad (27-2)$$

$$\forall k_{tp} > 0 : \exists \alpha_t, \beta_t > 0 | \alpha_t + \beta_t = k_{tp} \quad (27-3)$$

$$\forall t : \exists \varepsilon_t < 0 | \begin{cases} |\varepsilon_t| > |R_t| \\ R_t = k_{tc}(\dot{\varphi}'_{r1}|_o + \dot{\varphi}'_{l1}|_o) \end{cases} \quad (27-4)$$

$$R_b + \varepsilon_b Sgn(\dot{\theta}) = \begin{cases} f_{b1} = -\varepsilon_b + R_b > 0, \dot{\theta} < 0 \\ f_{b2} = +\varepsilon_b + R_b < 0, \dot{\theta} > 0 \end{cases} \quad (28)$$

$$R_t + \varepsilon_t Sgn(\dot{\phi}) = \begin{cases} f_{t1} = -\varepsilon_t + R_t > 0, \dot{\phi} < 0 \\ f_{t2} = +\varepsilon_t + R_t < 0, \dot{\phi} > 0 \end{cases} \quad (29)$$

$$\begin{aligned}
 & + \sum_{j=1}^{\infty} [-E I h \chi'''_{br\backslash j}]_o + k_b \chi'_{br\backslash j}]_o] \tilde{\eta}_{br\backslash j}(t) \\
 & = \sum_{i=1}^{\infty} [a_{bl\backslash i} \exp(\lambda_{bi} t) + \hat{a}_{bl\backslash i} \exp(\hat{\lambda}_{bi} t)] \\
 & + \sum_{j=1}^{\infty} [a_{br\backslash j} \exp(\lambda_{bj} t) + \hat{a}_{br\backslash j} \exp(\hat{\lambda}_{bj} t)] \quad (37-1)
 \end{aligned}$$

$$\begin{aligned}
 \tilde{\tau}_{x^*} & = \sum_{i=1}^{\infty} G I_p \chi'_{tl\backslash i}]_o \tilde{\eta}_{tl\backslash i}(t) + \sum_{j=1}^{\infty} G I_p \chi'_{tr\backslash i}]_o \tilde{\eta}_{tr\backslash i}(t) \\
 & = \sum_{i=1}^{\infty} [a_{tl\backslash i} \exp(\lambda_{ti} t) + \hat{a}_{tl\backslash i} \exp(\hat{\lambda}_{ti} t)] \\
 & + \sum_{j=1}^{\infty} [a_{tr\backslash j} \exp(\lambda_{tj} t) + \hat{a}_{tr\backslash j} \exp(\hat{\lambda}_{tj} t)] \quad (37-2)
 \end{aligned}$$

$$\begin{aligned}
 \tau_{z^*} & = \sum_{i=1}^{\infty} [-E I h \chi'''_{bl\backslash i}]_o + k_b \chi'_{bl\backslash i}]_o] \eta_{bl\backslash i}(t) \\
 & - k_{bc} \chi'_{bl\backslash i}]_o \hat{\eta}_{bl\backslash i}(t) - k_{bc} \chi'_{bl\backslash j}]_o \hat{\eta}_{bl\backslash j}(t) \\
 & + \sum_{j=1}^{\infty} [-E I h \chi'''_{br\backslash j}]_o + k_b \chi'_{br\backslash j}]_o] \eta_{br\backslash j}(t) \\
 & = \sum_{i=1}^{\infty} [b_{bl\backslash i} \exp(\lambda_{bi} t) + \hat{b}_{bl\backslash i} \exp(\hat{\lambda}_{bi} t)] \\
 & + \sum_{j=1}^{\infty} [b_{br\backslash j} \exp(\lambda_{bj} t) + \hat{b}_{br\backslash j} \exp(\hat{\lambda}_{bj} t)] \quad (38-1)
 \end{aligned}$$

$$\begin{aligned}
 \tau_{x^*} & = \sum_{i=1}^{\infty} G I_p \chi'_{tl\backslash i}]_o \eta_{tl\backslash i}(t) - k_{tc} \chi'_{tl\backslash i}]_o \hat{\eta}_{tl\backslash i}(t) \\
 & + \sum_{j=1}^{\infty} G I_p \chi'_{tr\backslash i}]_o \eta_{tr\backslash i}(t) - k_{tc} \chi'_{tr\backslash j}]_o \hat{\eta}_{tr\backslash j}(t) \\
 & = \sum_{i=1}^{\infty} [b_{tl\backslash i} \exp(\lambda_{ti} t) + \hat{b}_{tl\backslash i} \exp(\hat{\lambda}_{ti} t)] \\
 & + \sum_{j=1}^{\infty} [b_{tr\backslash j} \exp(\lambda_{tj} t) + \hat{b}_{tr\backslash j} \exp(\hat{\lambda}_{tj} t)] \quad (38-2)
 \end{aligned}$$

عبارات  $b_{t/br\backslash j}$ ,  $\hat{b}_{t/bl\backslash i}$ ,  $b_{t/bl\backslash i}$ ,  $a_{t/bl\backslash j}$ ,  $\hat{a}_{t/bl\backslash i}$ ,  $a_{t/bl\backslash j}$  و  $\hat{b}_{t/bl\backslash j}$  ضرایب مختصر ترکیب شده هستند. حاصل جمع توابع نمایی متفاوت، برابر با یک مقدار ثابت شده است. این گزاره فقط و فقط زمانی برای همیشه برقرار خواهد بود که داشته باشیم:

$$\left\{ \begin{array}{l} \tilde{\tau}_{z^*} = \tau_{z^*} = 0 \\ \tilde{\tau}_{x^*} = \tau_{x^*} = 0 \end{array} \right. \Rightarrow \left\{ \begin{array}{l} \tilde{\theta} = e_{\theta} = 0 \\ \tilde{\phi} = e_{\phi} = 0 \end{array} \right. \quad (39)$$

رابطه‌ی ۳۹ حاکی از آن است که خطای تخمین وضعیت و خطای وجود نسبت به مطلوب با مقادیر صفر، عضو مجموعه‌ی ناوردادست، حتی اگر از وجود میرایی صرف نظر شود. به علاوه چنان که در لم ۱ اثبات شده، خطای تخمین پارامترهای ارتعاشی و مقادیر واقعی آنها نیز با مقادیر صفر عضو مجموعه‌ی ناوردادستند.

$$\dot{\phi} = 0 \Rightarrow \phi = \phi_0 = cte, \ddot{\phi} = 0 \quad (11)$$

$$\rho A \ddot{\varphi}_{r/l} - G I_p \varphi''_{r/l} = 0 \quad (32-1)$$

$$\dot{\tilde{\phi}} = 0 \Rightarrow \tilde{\phi} = \tilde{\phi}_0 = cte, \ddot{\tilde{\phi}} = 0 \quad (15)$$

$$\rho A \ddot{\varphi}_{r/l} - G I_p \tilde{\varphi}''_{r/l} = 0 \quad (32-2)$$

$$\dot{\hat{\phi}} = \phi - \tilde{\phi} \Rightarrow \hat{\phi} = \hat{\phi}_0 = cte, \ddot{\hat{\phi}} = 0 \quad (13)$$

$$\rho A \ddot{\varphi}_{r/l} - G I_p \hat{\varphi}''_{r/l} = 0 \quad (32-3)$$

صرف نظر از میرایی، به منظور تعیین مقادیر  $\phi_0$  و  $\tilde{\phi}_0$  دینامیک خطای ۱۴ و ۱۵ و سیستم مداربسته‌ی ۲۳ را بازنویسی می‌کنیم. چهار مقدار ثابت از این روابط به دست می‌آید که با پارامترهای  $\tau_{x^*}$ ,  $\tau_{z^*}$ ,  $\tilde{\tau}_{x^*}$  و  $\tilde{\tau}_{z^*}$  نمایش داده می‌شود.

$$\begin{aligned}
 \tilde{\tau}_{z^*} \square k_{bop}(\theta_0 - \hat{\theta}_0) & = \\
 - E I h (\tilde{w}''_{l\backslash} + \tilde{w}''_{r\backslash}) + k_b (\tilde{w}'_{l\backslash} + \tilde{w}'_{r\backslash}) & \quad (33-1)
 \end{aligned}$$

$$\tilde{\tau}_{x^*} \square k_{top}(\phi_0 - \hat{\phi}_0) = G I_p (\tilde{\varphi}'_{l\backslash} + \tilde{\varphi}'_{r\backslash}) \quad (33-2)$$

$$\begin{aligned}
 \tau_{x^*} \square k_{bp}(\theta_0 - \theta_d) & = - E I h (w''_{l\backslash} + w''_{r\backslash}) \\
 + k_b (w'_{l\backslash} + w'_{r\backslash}) - k_{bc} (\hat{w}'_{l\backslash} + \hat{w}'_{r\backslash}) & \quad (34-1)
 \end{aligned}$$

$$\begin{aligned}
 \tau_{x^*} \square k_{tp}(\phi_0 - \phi_d) & = G I_p (\varphi'_{l\backslash} + \varphi'_{r\backslash}) \\
 - k_{tc} (\hat{\varphi}'_{r\backslash} + \hat{\varphi}'_{l\backslash}) & \quad (34-2)
 \end{aligned}$$

به منظور حل معادلات فوق با کمک جداسازی متغیرها داریم:

$$\begin{aligned}
 w & = \sum_{i=1}^{\infty} \chi_{bi}(x) \eta_{bi}(t) \\
 \eta_{bi}(t) & = a_{b^* i} \exp(\lambda_{bi} t), \lambda_{bi} = \sigma_{bi} + j \omega_{bi} \quad (35-1)
 \end{aligned}$$

$$\begin{aligned}
 \hat{w} & = \sum_{i=1}^{\infty} \chi_{bi}(x) \hat{\eta}_{bi}(t) \\
 \hat{\eta}_{bi}(t) & = \hat{a}_{b^* i} \exp(\hat{\lambda}_{bi} t), \hat{\lambda}_{bi} = \hat{\sigma}_{bi} + j \hat{\omega}_{bi} \quad (35-2)
 \end{aligned}$$

$$\begin{aligned}
 \tilde{w} & = \sum_{i=1}^{\infty} \chi_{bi}(x) \tilde{\eta}_{bi}(t), \tilde{\eta}_{bi}(t) = \eta_{bi}(t) - \hat{\eta}_{bi}(t) \\
 \varphi & = \sum_{i=1}^{\infty} \chi_{ti}(x) \eta_{ti}(t) \\
 \eta_{ti}(t) & = a_{t^* i} \exp(\lambda_{ti} t), \lambda_{ti} = \sigma_{ti} + j \omega_{ti} \quad (36-1)
 \end{aligned}$$

$$\begin{aligned}
 \hat{\varphi} & = \sum_{i=1}^{\infty} \chi_{ti}(x) \hat{\eta}_{ti}(t) \\
 \hat{\eta}_{ti}(t) & = \hat{a}_{t^* i} \exp(\hat{\lambda}_{ti} t), \hat{\lambda}_{ti} = \hat{\sigma}_{ti} + j \hat{\omega}_{ti} \quad (36-2) \\
 \tilde{\varphi} & = \sum_{i=1}^{\infty} \chi_{ti}(x) \tilde{\eta}_{ti}(t), \tilde{\eta}_{ti}(t) = \eta_{ti}(t) - \hat{\eta}_{ti}(t) \quad (36-3)
 \end{aligned}$$

با استفاده از روابط ۳۵ و ۳۶ می‌توان روابط ۳۳ و ۳۴ را بسط داد تا بدون در نظر گرفتن میرایی، روابط زیر حاصل شود.

$$\tilde{\tau}_{z^*} = \sum_{i=1}^{\infty} [-E I h \chi'''_{bl\backslash i}]_o + k_b \chi'_{bl\backslash i}]_o] \tilde{\eta}_{bl\backslash i}(t)$$

### جنبشی و پتانسیل عبارتند از:

لم: ۱ طبق معادله ۲۱ داریم:

$$[m_b] = \frac{\rho Al_e}{420} \begin{bmatrix} 156 & 22l_e & 54 & -13l_e \\ & 4l_e^2 & 13l_e & -3l_e^2 \\ & & 156 & -22l_e \\ Sym. & & & 4l_e^2 \end{bmatrix}$$

$$[k_b] = EI \begin{bmatrix} 12 & 6l_e & -12 & 6l_e \\ & 4l_e^2 & -6l_e & 2l_e^2 \\ & & 12 & -6l_e \\ Sym. & & & 4l_e^2 \end{bmatrix}$$

$$[m_t] = \frac{\rho I_p l_e}{3} \begin{bmatrix} 1 & 1/2 \\ 1/2 & 1 \end{bmatrix}, [k_t] = \frac{GI_p}{l_e} \begin{bmatrix} 1 & -1 \\ -1 & 1 \end{bmatrix} \quad (42)$$

پارامترهای شبیه‌سازی طبق جدول ۱ در نظر گرفته شده‌اند. قانون کنترلی مینی بر مشاهده‌گر که در این فصل معرفی شد اعمال شده است. در شبیه‌سازی اول همه متغیرهای حالت به جز موارد ذیل از شرایط اولیه صفر و با زاویه مطلوب ۲۵ درجه برای رول و پیچ هاب لحاظ و یک شرایط اولیه فرضی برای مشاهده‌گر در نظر گرفته شده است.

می‌دانیم مشاهده‌گر باقیستی از کنترل کننده سریع‌تر باشد لذا بهره‌های مربوطه ده بزرگ‌تر انتخاب شده است. شرایط اولیه و ضرایب مشاهده‌گر و کنترل کننده عبارت‌اند از:

$$k_{bp} = 1/5, k_{bd} = 20, k_{bc} = 20, k_{tp} = 3, k_{td} = 10, k_{tc} = 5$$

$$k_{bop} = 15, k_{bod} = 200, k_{top} = 30, k_{tod} = 100$$

$$t = 0 :$$

$$\left\{ \begin{array}{l} w'_{r2}|_0 = w'_{l2}|_0 = -10, w'_{r1}|_0 = w'_{l1}|_0 = 15, \theta = 0^\circ \deg \\ \hat{w}'_{r2}|_0 = \hat{w}'_{l2}|_0 = 5, \hat{w}'_{r1}|_0 = \hat{w}'_{l1}|_0 = -5, \hat{\theta} = -10^\circ \deg \\ \varphi_{r2}|_0 = \varphi_{l2}|_0 = 5, \varphi_{r1}|_0 = \varphi_{l1}|_0 = 10, \phi = -5^\circ \deg \\ \dot{\varphi}_{r2}|_0 = \dot{\varphi}_{l2}|_0 = -5, \dot{\varphi}_{r1}|_0 = \dot{\varphi}_{l1}|_0 = 5, \dot{\phi} = 5^\circ \deg \end{array} \right.$$

مقدار ناچیزی برای ضرایب میرایی (۵، ۲) فرض شده است که نسبت میرایی معادل آن  $0/006 = \zeta$  است تا کیفیت پایدارسازی کنترل کننده مستقل‌تر بررسی شود. با توجه به حجم بالای محاسبات، این میزان ناچیز میرایی از تأثیر مخرب خطاهای محاسباتی جلوگیری می‌کند.

نکته‌ی ۱: یک موضوع قابل بررسی تعیین تعداد مناسب المان‌ها برای مدل‌سازی هر تیر است. شبیه‌سازی با تغییر تعداد المان‌ها از یک تا بیش از ۵ عدد نشان داد با ۵ المان همگرایی مناسبی حاصل می‌شود و تعداد بیشتر از آن تنها فرکانس‌های بالاتر از  $10^\circ$  هرتز را اضافه و با مقادیررشان را تغییر می‌دهد. در واقع دو فرکانس طبیعی اول تقریباً بدون تغییر هستند و تا فرکانس پنجم تغییر جزئی می‌یابد. می‌دانیم رفتار غالب توسط فرکانس‌های پایین تر شکل می‌گیرد و عملاً تعداد بیش از ۵ المان

$$\begin{aligned} \dot{V}_o &= 0 \Rightarrow \dot{w}'_{r2}|_0 - \dot{w}'_{r1}|_0 = \dot{w}'_{l2}|_0 - \dot{w}'_{l1}|_0 = 0 \\ \dot{w}'_{r1}|_0 &= \dot{w}'_{l1}|_0 = \dot{\varphi}_{r2}|_l = \dot{\varphi}_{l2}|_l = 0 \\ \Rightarrow \tilde{w}'_{r2}|_0 - \tilde{w}'_{r1}|_l, \tilde{w}'_{l2}|_0 - \tilde{w}'_{l1}|_l, \tilde{w}'_{r1}|_l, \tilde{\varphi}_{r2}|_l &= cte \end{aligned} \quad (40)$$

اما می‌دانیم  $\tilde{w}_{r/l1}(x, t)$  پارامتری است که در معادله ارتعاش تیر ۲-۳۱، با شرایط مرزی لولا و فزر در دو سر تیر صدق می‌کند. بنابراین اگر شیب آن در مکان صفر ثابت بماند، بدین معناست که تیر ارتعاش ندارد. یعنی  $\tilde{w}_{r/l1}(x, t) = 0$ . در خصوص  $\tilde{w}_{r/l2}(x, t) = 0$  می‌توان از رابطه‌ی ۴۱ نتیجه متشابه گرفت. همچنین ثابت ماندن  $\tilde{\varphi}_{r/l2}(x, t) = 0$  که در معادله‌ی پیچش تیر ۲-۳۲ با شرایط مرزی یک سرآزاد یک سردرگیر صدق می‌کند، به معنای عدم ارتعاش پیچشی تیر است. با توجه به شرایط مرزی یعنی قفل بودن تیرها به لحاظ پیچش در محل تماس با یکدیگر داریم  $\tilde{\varphi}_{r/ln}(x, t) = 0$ .

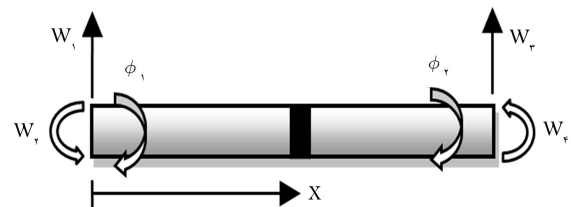
$$\tilde{w}'_{r2}|_0 - \tilde{w}'_{r1}|_l = cte, \tilde{w}'_{l2}|_0 = 0 \Rightarrow \tilde{w}'_{r2}|_0 = 0 \quad (41)$$

مشابه بحث فوق روی دینامیک خط، در خصوص متغیرهای ارتعاشی در معادلات دینامیک ماهواره نیز با در نظر گرفتن روابط ۲۹، ۳۱-۳۲ و شرایط مرزی، استنتاج می‌شود.

## ۶. شبیه‌سازی و بحث روی نتایج

روش المان محدود جهت مدل‌سازی ماهواره مطابق شکل ۱ اتخاذ شده است. بخش‌های صفحات خورشیدی به وسیله‌ی المان‌های تیر اولر - برنولی مدل شده است. به علاوه دو مختصات تعیین‌یافته پیچشی به هر المان افزوده شده است. به منظور محاسبه‌ی ماتریس‌های سختی و اینرسی در تغییر شکل خمی توابع شکل مود خطی استفاده مود چندجمله‌ای مرتبه ۳ و در تغییر شکل پیچشی تابع شکل مود خطی استفاده شده است.<sup>[۴۶]</sup> شکل ۲ المان مورد نظر را به همراه مختصات تعیین‌یافته اش φ<sub>۱</sub>, φ<sub>۲</sub>, φ<sub>۳</sub>, φ<sub>۴</sub>, φ<sub>۵</sub>, φ<sub>۶</sub> نشان می‌دهد.

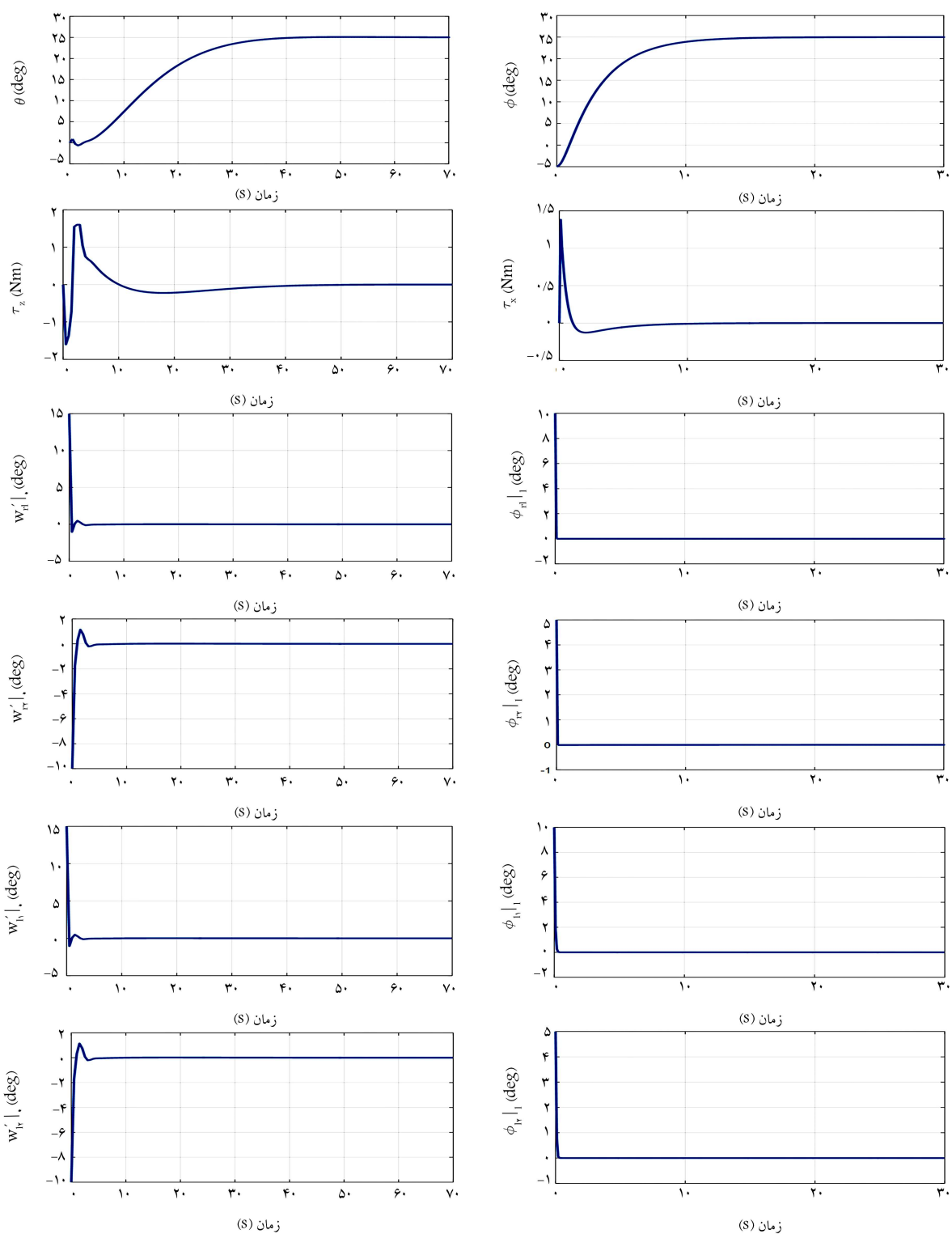
ماتریس‌های معادل اینرسی و سختی مربوطه برای هر المان از روابط انرژی



شکل ۲. یک المان تیر اولر - برنولی به اضافه پیچش.

جدول ۱. پارامترهای شبیه‌سازی.

پارامتر	$I_p$ ( $m^4$ )	$A$ ( $m^2$ )	$E$ ( $Pa$ )	$G$ ( $Pa$ )	$I$ ( $m^4$ )	$c$	$h$ (m)	$\rho$ ( $kg/m^3$ )	$k_s, k_b$ ( $Nm$ )	$c_s, c_b$ ( $Nms$ )	$j_x, j_z$ ( $kgm^2$ )	$l$	تعداد المان‌ها	مدار		
در هر تیر	۰/۰۱	۰/۰۱	۵e-۱۰	۲e-۱۰	۶e-۷	۲e-۵	۵e-۷	۲e-۴	۴	۲۰۰	۰/۲	۰/۳	۲e۳	۵	۰/۸	۵

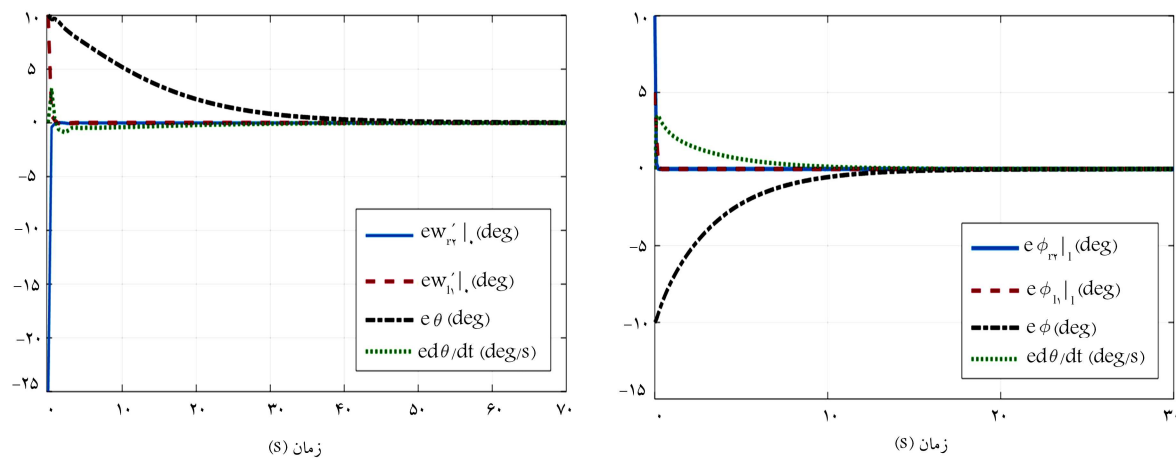


شکل ۳. نتایج شبیه‌سازی روی سیستم مداربسته مبنی بر مشاهده‌گر.

علی‌رغم افزایش بسیار زیاد هزینه و زمان محاسبات، افزایش دقت محسوسی به قسمت‌های صفحات خورشیدی در لبه‌های نزدیک به هاب در دو سمت آن و پیچش - پیچ شامل زاویه‌ی پیچ هاب و تغییر شکل پیچشی قسمت‌های صفحات خورشیدی در لبه‌های دور از هاب در دو سمت آن رسم شده‌اند. نتایج حاکی از عملکرد خوب روش کنترل ارائه شده است. فراجهش ناچیز همزمان با زمان نشست مناسب و عدم وجود خطای مانندگار مشخصات خوب برای رفتار گذرای پاسخ هستند. همچنان طبق دست نمی‌دهد.

به علاوه خطاهای همگرایی مشاهده‌گر برای تعدادی از متغیرهای حالت وضعیت و ارتعاشات طی این شبیه‌سازی در شکل ۴ نشان داده شده است.

در شکل ۳ نمودارهای پاسخ خمین - رول شامل زاویه رول هاب و شبیه‌های



شکل ۴. خطاهای تغییر مشاهده‌گر.

به همراه کنترل کمینه مربزی به منظور کنترل همزمان دینامیک وضعیت و ارتعاشات صفحات خورشیدی برای یک فرم کلی از ماهاواره‌های منعطف، تنها با استفاده از عملگرهای گشتاور داخل هاب، طراحی شد. همچنین تغییر شکل پیچشی علاوه بر خمشن در نظر گرفته شد.

این واقعیت که صفحات خورشیدی بازشونده عموماً از قسمت‌های تشکیل یافته‌اند در معادلات دینامیک منظور شد. حاصل آن است که کنترل مربزی بدون نیاز به اندازه‌گیری فراتر از وضعیت و سرعت زاویه‌بی ماهاواره محقق شده است. بازداری مجانی برای مشاهده‌گر و همچنین کل سیستم مداربسته مبنی بر مشاهده‌گر به اثبات رسید و عملکرد آن طی شبیه‌سازی‌ها به روش اجزای محدود نشان داده شد.

شکل ۴ تخمین پارامترها توسط مشاهده‌گر معادلات جزیی نیز با کیفیت مطلوبی صورت پذیرفته است.

## ۷. نتیجه‌گیری

اخیراً کاربردهای کنترل معادلات جزیی توجه بیشتری معطوف خود ساخته است اما روش‌های ارائه شده در مقالات به حسگرهای اضافی روی سطح جسم گسترده و با روی مربزهای آن نیاز دارد که بسیاری از آنها عملیاتی نیست. مشاهده‌گر می‌تواند در این زمینه کمک کند. لذا در این پژوهش برای نخستین بار یک مشاهده‌گر معادلات جزیی

## پانوشت‌ها

1. ODE-PDE
2. linear quadratic regulator (LQR)
3. spill-over instability
4. early lumping
5. late lumping
6. finite difference
7. eigen function expansion
8. orthogonal decomposition
9. cascade systems
10. warping
11. Euler-Bernoulli
12. uncoupled

## منابع (References)

1. Chen, X., Ren, Y., Cai, Y. and et al. "Integrated control of attitude maneuver and vibration suppression of flexible spacecraft based on magnetically suspended control moment gyros", *Proc IMechE C: J Mechanical Engineering Science*, DOI: 10.1177/0954406220942801, Epub ahead of print 22 July (2020).
2. Gasbarri, P., Monti, R. and et al. "Effects of uncertainties and flexible dynamic contributions on the control of a spacecraft full-coupled model", *Acta Astronaut*, **94**, pp. 515-526 (2014).
3. Hu, Y., Wu, B., Geng, Y. and et al. "Smooth time-optimal attitude control of spacecraft", *Proc IMechE G: J Aerospace Eng*, **233**, pp.2331-2343 (2019).
4. Cao, X., Yue, C. and Liu, M. "Flexible satellite attitude maneuver via constrained torque distribution and active vibration suppression", *Aerospace Sci Technol*, **67**, pp. 387-397 (2017).
5. Fakoor, M., Nikpay, S. and Kalhor, A. "On the ability of sliding mode and LQR controllers optimized with PSO in attitude control of a flexible 4-DOF satellite with time-varying payload", *Adv Space Res*, **67**, pp. 334-349 (2021).
6. Gasbarri, P., Sabatini, M. and Pisculli A. "Dynamic modeling and stability parametric analysis of a flexible spacecraft with fuel slosh", *Acta Astronaut*, **127**, pp. 141-159 (2016).

7. Ji, N. and Liu, J. "Vibration control for a flexible satellite with adaptive actuator fault-tolerant and input quantization", *Trans. Inst. Measurement Control*, **42**, pp. 451-460 (2020).
8. Tao, J., Zhang, T. and Nie, Y. "Attitude maneuvering and vibration reducing control of flexible spacecraft subject to actuator saturation and misalignment", *Shock Vib.*, 3129834, DOI: 10.1155/2018/3129834 (2018).
9. TayyebTaher, M. and Esmaeilzadeh, M. "Model predictive control of attitude maneuver of a geostationary flexible satellite based on genetic algorithm", *Adv Space Res.*, **60**, pp. 57-64 (2017).
10. Wang, E., Wu, S., Liu, Y. and et al. "Distributed vibration control of a large solar power satellite", *Astrodyn.*, **3**, pp. 189-203 (2019).
11. Zhang, L., Xu, S. et al. "Active vibration suppression for flexible satellites using a novel component synthesis method", *Adv Space Res.*, **67**, pp. 1968-1980 (2021).
12. Karagiannis, D. and Radisavljevic-Gajic, V. "Exponential stability for a class of boundary conditions on an euler-bernoulli beam subject to disturbances via boundary control", *Journal of Sound and Vibration*, **446**, pp. 387-411 (2019).
13. Cao, F. and Liu, J. "Boundary vibration control for a two-link rigid-flexible manipulator with quantized input", *Journal of Vibration and Control*, **25**(23-24), pp. 2935-2945 (2019).
14. Entessari, F., Najafi, A. and Alasty, A. "Exponential stabilization of flexural sway vibration of gantry crane via boundary control method", *Journal of Vibration and Control*, **26**(1-2), pp. 36-55 (2020).
15. He, W. and Ge, SS. "Dynamic modeling and vibration control of a flexible satellite", *IEEE Transactions on Aerospace and Electronic Systems*, **51**(2), pp. 1422-1431 (2015).
16. Ji, N. and Liu, J. "Vibration control for a flexible satellite with input constraint based on Nussbaum function via backstepping method", *Aerospace Science and Technology*, **77**, pp. 563-572 (2018).
17. Meng, T., He, W., Yang, H. and et al. "Vibration control for a flexible satellite system with output constraints", *Nonlinear Dynamics*, **85**, pp. 2673-2686 (2016).
18. Rad, HK., Salarieh, H., Alasty, A. and et al. "Boundary control of flexible satellite vibration in planar motion", *Journal of Sound and Vibration*, **432**, pp. 549-568 (2018).
19. Rad, HK., Salarieh, H., Alasty, A. and et al. "Boundary control of anti-symmetric vibration of satellite with flexible appendages in planar motion with exponential stability", *Acta Astronautica*, **147**, pp. 219-230 (2018).
20. Hidayat, Z. and et al. "Observers for linear distributed-parameter systems: A survey", *2011 IEEE International Symposium on Robotic and Sensors Environments (ROSE)*, Montreal, Canada, 17-18 September, NJ: IEEE, pp. 166-171 (2011).
21. Cao, X., Yue, C. and Liu, M. "Flexible satellite attitude maneuver via constrained torque distribution and active vibration suppression", *Aerospace Science and Technology*, **67**, pp. 387-397 (2017).
22. Duraffourg, E., Burlion, L. and Ahmed-Ali, T. "Finite-time observer-based back stepping control of a flexible launch vehicle", *Journal of Vibration and Control*, **24**(8), pp. 1535-1550 (2016).
23. Smyshlyaev, A. and Krstic, M. "Backstepping observers for a class of parabolic PDEs", *Systems & Control Letters*, **54**(7), pp. 613-625 (2005).
24. Jiang, T., Liu, J. and He, W. "A robust observer design for a flexible manipulator based on a PDE model", *Journal of Vibration and Control*, **23**(6), pp. 871-882 (2017).
25. Dogan, M. and Morgul, O. "Boundary control of a rotating shear beam with observer feedback", *Journal of Vibration and Control*, **18**(14), pp. 2257-2265 (2012).
26. Liang, X., Wang, Q., Hu, C. and et al. "Observer-based H8 fault-tolerant attitude control for satellite with actuator and sensor faults", *Aerospace Science and Technology*, DOI: 10.1016/j.ast.2019.105424, Epub ahead of print September (2019).
27. Zhu, Q., Ma, G., Wang, X. and et al. "Attitude control without angular velocity measurement for flexible satellites", *Chinese Journal of Aeronautics*, **31**(6), pp. 1345-1351 (2018).
28. Fan, L., Huang, H., Sun, L. and et al. "Robust attitude control for a rigid-flexible microsatellite with multiple uncertainties and input saturations", *Aerospace Science and Technology*, DOI: 10.1016/j.ast.2019.105443, Epub ahead of print 27 September (2019).
29. Zhang, L. and Liu, J. "Nonlinear PDE observer design for a flexible two-link manipulator", *2012 American Control Conference (ACC)*, Montreal, Canada, NJ: IEEE, pp. 5336-5341 (2012).
30. Yang, H., Liu, J. and Lan, X. "Observer design for a flexible-link manipulator with PDE model", *Journal of Sound and Vibration*, **341**, pp. 237-245 (2015).
31. Jin, F. and Guo, B. "Boundary output tracking for an euler-bernoulli beam equation with unmatched perturbations from a known ecosystem", *Automatica*. Epub ahead of print 30 July 2019. DOI: 10.1016/j.automatica.2019.108507 (2019).
32. Hasan, A. "Boundary observer design for hyperbolic PDE-ODE cascade systems", *Automatica*, **68**, pp. 75-86 (2016).
33. Liu, Y., Fu, Y., He, W. and et al. "Modeling and observer-based vibration control of a flexible spacecraft with external disturbances", *IEEE Transactions on Industrial Electronics*, **66**(11), pp. 8648-8658 (2018).
34. Rao, SS. *Vibration of Continuous Systems*, John Wiley & Sons, Hoboken, new Jersey, United States of America (2007).
35. Khalil, HK. *Nonlinear Systems*. Upper Saddle River NJ: Prentice Hall (2002).
36. Kashani, MT., Jayasinghe, S. and Hashemi, SM. "On the flexural-torsional vibration and stability of beams subjected to axial load and end moment", *Shock Vib.*, 153532. DOI: 10.1155/2014/153532 (2014).